

Dynamique : point matériel vs. solide

Point matériel / c.d.m

Solide (rotations)

Eq. du mvmt

$$\vec{dP} = \sum_{\rho} \vec{F}_{\rho}^{\text{ext}}$$

Né dépend pas des points d'application des forces ext.

$$\vec{dL}_O = \vec{M}_O^{\text{ext}}$$

pour un choix du point O fixe
ou $O = G = \text{c.d.m.}$

Ici $\vec{M}_O^{\text{ext}} = \sum_{\rho} \vec{OP}_{\rho} \wedge \vec{F}_{\rho}^{\text{ext}}$ (P_{ρ} point d'application de la force $\vec{F}_{\rho}^{\text{ext}}$)

Lien avec cinétique

$$\vec{p} = M \vec{v} \quad \text{où } \vec{v} = \dot{\vec{r}}$$

↳ toujours aligné à \vec{v}

↳ inertie identique dans toutes les directions

Selon une direction quelconque

$$\hat{e}_x : \vec{p} \cdot \hat{e}_x = M \vec{v} \cdot \hat{e}_x$$

$$p_x = M v_x$$

$$\Rightarrow M \frac{dv_x}{dt} = \sum \vec{F} \cdot \hat{e}_x$$

Projection

Conservation

Si $\vec{F}^{\text{ext}} \cdot \hat{e}_x = 0$ alors

$$M v_x = \text{constante}$$

$$\vec{L}_O = \vec{I}^{(O)} \cdot \vec{\omega} \quad \rightarrow \text{pas tjs : } \vec{L}_O \parallel \vec{\omega} !$$

Dans un repère d'inertie $\hat{e}_1, \hat{e}_2, \hat{e}_3$:

axes principaux d'inertie

$$\vec{I}^{(G)} = \begin{pmatrix} I_1 & 0 & 0 \\ 0 & I_2 & 0 \\ 0 & 0 & I_3 \end{pmatrix} \quad \text{où } I_1, I_2, I_3 \text{ moments principaux}$$

• Si $G \in \Delta$ et $\vec{\omega} = \omega \hat{e}_{\Delta}$: $\vec{L}_G \cdot \hat{e}_{\Delta} = I_{\Delta}^{(G)} \omega$ où

$$I_{\Delta}^{(G)} = \hat{e}_{\Delta} \cdot \vec{I}^{(G)} \cdot \hat{e}_{\Delta}$$

• Si $C \in \delta \parallel \Delta$ alors $I_{\delta}^{(C)} = I_{\Delta}^{(G)} + M d(\Delta, \delta)^2$

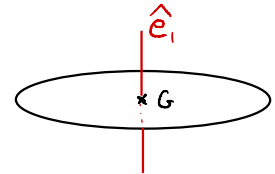
• $\frac{d\vec{L}_C}{dt} \cdot \hat{e}_{\delta} = \vec{M}_C^{\text{ext}} \cdot \hat{e}_{\delta} \Rightarrow I_{\delta}^{(C)} \dot{\omega} = \vec{M}_C^{\text{ext}} \cdot \hat{e}_{\delta}$

Si $\vec{M}_C^{\text{ext}} \cdot \hat{e}_{\delta} = 0$ alors $I_{\delta}^{(C)} \omega = \text{constante}$

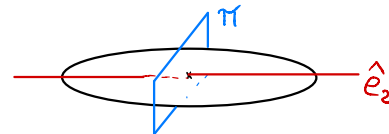
• Comment trouver un repère d'inertie $\hat{e}_1, \hat{e}_2, \hat{e}_3$?

Soit un axe Δ passant par G , c.d.m du solide :

• Si Δ est un axe de symétrie de révolution alors Δ est un axe principal d'inertie



• Si Π est un plan de symétrie (réflexion) alors tout $\Delta \perp \Pi$ est un axe principal



I) Energie cinétique totale d'un solide

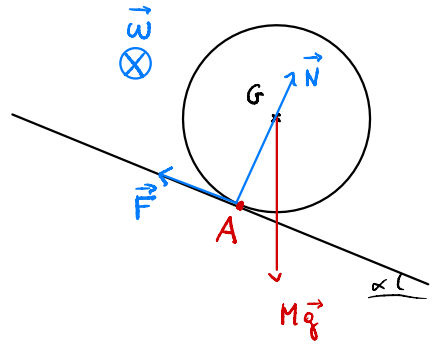
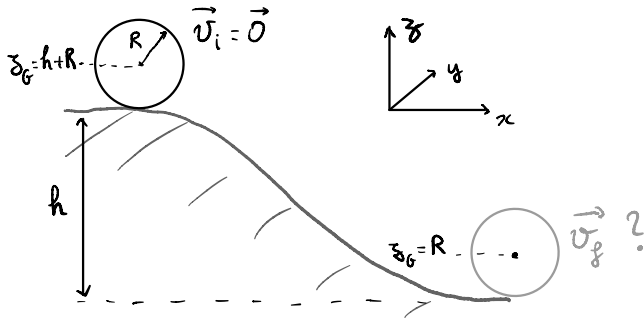
On connaît la vitesse instantanée d'un point A du solide et $\vec{\omega}$, alors :

$$K = \frac{1}{2} M \vec{v}_A^2 + M \vec{v}_A \cdot (\vec{\omega} \wedge \vec{AG}) + \frac{1}{2} \vec{\omega} \cdot \vec{I}_A \cdot \vec{\omega} \quad (\text{formule générale})$$

En particulier si $\vec{v}_A = 0$ ou bien si $A = G$ (c.d.m.) et $\vec{\omega} = \omega \hat{e}_\Delta$:

$$K = \underbrace{\frac{1}{2} M \vec{v}_A^2}_{K_{p.mot.}} + \underbrace{\frac{1}{2} I_\Delta^{(A)} \omega^2}_{K_{rotation}}$$

Ex : cylindre sur une pente (roule sans glisser)



* Systeme : cylindre de masse M

* Referentiel : lié au sol

* Forces : . pesanteur $M\vec{g} \rightarrow$ conservative, potentiel $V(z_G) = Mg z_G$

Puissance nulle } Force de liaison \vec{N} normale à la piste } $\vec{F} \cdot \vec{v}_A = \vec{N} \cdot \vec{v}_A = 0$
 } Force de frottement statique \vec{F} } car $\vec{v}_A = \vec{0}$

roulement sans glissement.

Donc l'énergie mécanique est conservée : $K_i + V_i = K_f + V_f$

d'où : $K_f = V_i - V_f = Mgh$

Deux façons d'exprimer K_f

① Par rapport à G : $K = \frac{1}{2} M v_G^2 + \frac{1}{2} I_y^{(G)} \omega^2$

or $\vec{v}_G = \vec{v}_A + \vec{\omega} \wedge \vec{AG} = \vec{\omega} \wedge \vec{AG} \rightarrow \|\vec{v}_G\| = \omega R = v_G$

ainsi : $K = \frac{1}{2} M v_G^2 + \frac{1}{2} \frac{I_y^{(G)}}{R^2} v_G^2$

Selon la répartition des masses : $I_y^{(G)} = \lambda MR^2$

où $\lambda = \frac{1}{2}$ pour un cylindre homogène

$\lambda = 1$ ————— creux

Donc : $K = \frac{1}{2} (1 + \lambda) M v_G^2$

② Par rapport à A : $K = \frac{1}{2} I_y^{(A)} \omega^2$ or $I_y^{(A)} = I_y^{(G)} + MR^2$

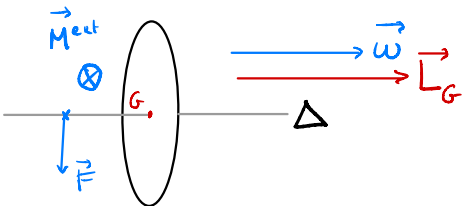
donc : $K = \frac{1}{2} (\lambda MR^2 + MR^2) \frac{v_G^2}{R^2} = \frac{1}{2} (\lambda + 1) M v_G^2$

Enfinement : $v_f = \sqrt{\frac{2gh}{1 + \lambda}}$

II) Effets gyroscopiques

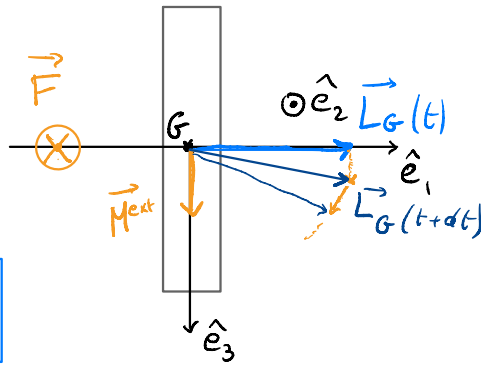
Gyroscope : • peut tourner autour de son c.d.m.

• En notation rapide autour d'un axe principal d'inertie



Vue de dessus

$\hat{e}_1, \hat{e}_2, \hat{e}_3$: repère d'inertie
 ↳ // axes princ. d'inertie



$$\vec{L}_G(t+dt) = \vec{L}_G(t) + \vec{M}_G^{\text{ext}} dt$$

(Th. du mom. cin.)

Ex : Toupie (sans frottements)

Moment cinétique p/n à C (point fixe) :

↳ moment d'inertie autour de \hat{e}_1

$$\vec{L}_C = I_1 \omega \hat{e}_1 \quad \text{car } \vec{\omega} // \text{axe princ. d'inertie}$$

$$\vec{M}_C^{\text{ext}} = \vec{CG} \wedge M\vec{g} = l \hat{e}_1 \wedge (-Mg \hat{e}_3)$$

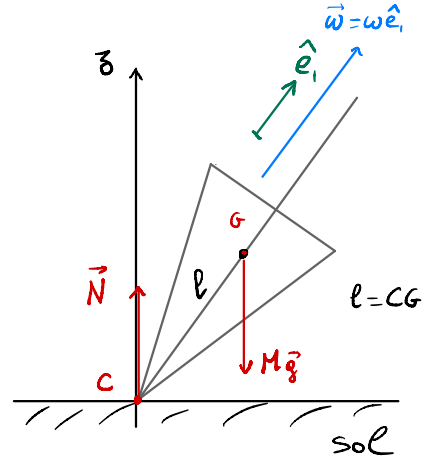
$$= l Mg \hat{e}_3 \wedge \hat{e}_1$$

$$= \underbrace{\frac{l Mg}{I_1 \omega}}_{\vec{\Omega}} \hat{e}_3 \wedge \underbrace{I_1 \omega \hat{e}_1}_{\vec{L}_C}$$

Donc

$$\frac{d\vec{L}_C}{dt} = \vec{\Omega} \wedge \vec{L}_C$$

Précession
autour de $\vec{\Omega}$



↳ c'est un mouvement de précession : \vec{L}_C tourne autour de \hat{e}_3 à une vitesse angulaire $\frac{l Mg}{I_1 \omega}$

Valide seulement si $|\vec{\Omega}| \ll |\vec{\omega}|$, c'est à dire : $I_1 \omega^2 \gg M l g$

Si non, on doit utiliser les équations d'Euler pour le cas général.

car $\vec{\omega} \neq \vec{\omega}_{\text{tot}}$

Cas général : équations d'Euler (= th. du moment cinétique en G)

Solide quelconque. $G = \text{c.d.m.}$, $\hat{e}_1 \hat{e}_2 \hat{e}_3$ repère d'inertie

$$\vec{L}_G = \begin{pmatrix} I_1 & 0 & 0 \\ 0 & I_2 & 0 \\ 0 & 0 & I_3 \end{pmatrix} \cdot \vec{\omega} \quad \text{c'est à dire} \quad \vec{L}_G \cdot \hat{e}_i = L_i = I_i \omega_i$$

$$\frac{d\vec{L}_G}{dt} = \frac{d}{dt} \left(\sum_{i=1}^3 L_i \hat{e}_i \right) = \sum_i I_i \dot{\omega}_i \hat{e}_i + I_i \omega_i \vec{\omega} \wedge \hat{e}_i \quad \text{où } \vec{\omega} = \sum_j \omega_j \hat{e}_j$$

$$\frac{d\vec{L}_G}{dt} = \vec{M}_G^{\text{ext}} \Rightarrow$$

$$\begin{aligned} I_1 \dot{\omega}_1 - (I_2 - I_3) \omega_2 \omega_3 &= M_1^{\text{ext}} \\ I_2 \dot{\omega}_2 - (I_3 - I_1) \omega_1 \omega_3 &= M_2^{\text{ext}} \\ I_3 \dot{\omega}_3 - (I_1 - I_2) \omega_2 \omega_1 &= M_3^{\text{ext}} \end{aligned}$$

Equations d'Euler.

Exemple

Rotation libre, rapide, autour de \hat{e}_1 : $\vec{M}_G^{\text{ext}} = \vec{0}$, $\omega_1 \gg \omega_2, \omega_3$, $\omega_1 \approx \text{constante}$

$$I_2 \ddot{\omega}_2 = (I_3 - I_1) (\dot{\omega}_1 \omega_3 + \omega_1 \dot{\omega}_3) \approx (I_3 - I_1) \omega_1 \times \frac{(I_1 - I_2) \omega_2 \omega_1}{I_3} \quad \text{car } \dot{\omega}_1 \approx 0$$

$$\text{donc } \ddot{\omega}_2 = - \frac{(I_1 - I_3)(I_1 - I_2) \omega_1^2}{I_2 I_3} \omega_2(t) \quad (\text{similaire pour } \ddot{\omega}_3)$$

$$= -\alpha \omega_2(t) \rightarrow \text{oscillations si } \alpha > 0 \quad (\alpha \leftrightarrow \frac{k}{m}) \\ \text{instable si } \alpha < 0$$

Conclusion : si $I_2 < I_1 < I_3$ ou $I_3 < I_1 < I_2$ les rotations libres autour de \hat{e}_1 sont instables

Exercices

1) Meule

Système : Roue + axe (sans masse)

↳ roule sans glisser -

Comme $\vec{v}_O = \vec{v}_A = \vec{0}$ l'axe de rotation instantané est selon (OA)

Calcul du moment cinétique p/r à O :

$$\begin{aligned} \vec{L}_{(O)} &= \vec{I}_{(O)} \cdot \vec{\omega}_{\text{tot}} = \vec{I}_{(O)} \cdot (\vec{\Omega} + \vec{\omega}) \\ &= \vec{I}_{(O)} \cdot \vec{\Omega} + \vec{I}_{(O)} \cdot \vec{\omega} \\ &= I_3^{(O)} \Omega \hat{e}_3 + I_1^{(O)} \omega \hat{e}_1 \\ &= I_\Delta \Omega \hat{e}_3 + I_8 \omega \hat{e}_1 \end{aligned}$$

Comme δ passe par G et $\delta \parallel \hat{e}_1$ on a $I_8 = I_1^{(G)}$ ($= \frac{1}{2} MR^2$ pour cylindre plein)

Par contre Δ ne passe pas par G \rightarrow on utilise Huygens - Steiner :

$$I_\Delta = I_3^{(G)} + Md^2$$

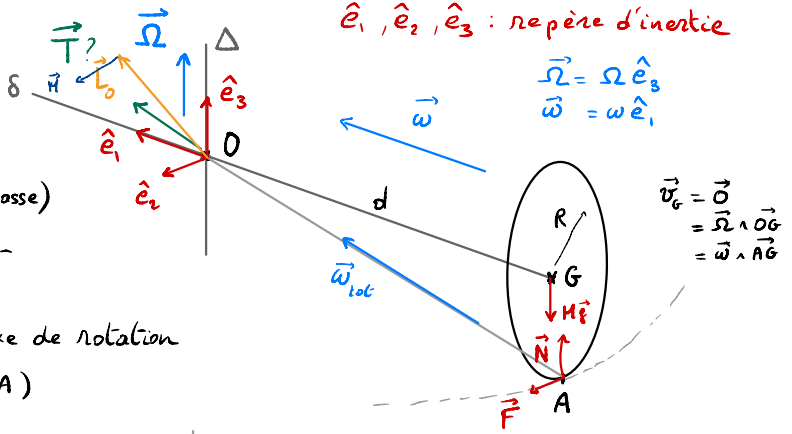
Donc $\vec{L}_O = I_1 \omega \hat{e}_1 + (I_3 + Md^2) \Omega \hat{e}_3$ en général \vec{L}_O pas // à $\vec{\omega}_{\text{tot}}$

* Moments des forces en O

* $\vec{T} \rightarrow$ pas de moment en O

$$\begin{aligned} \vec{M}_O^{\text{ext}} &= \vec{OA} \wedge \vec{F} + \vec{OA} \wedge \vec{N} + \vec{OG} \wedge M\vec{g} \\ &= \underbrace{\vec{OA} \wedge F \hat{e}_2}_{\perp \hat{e}_2} + \underbrace{\vec{OA} \wedge N \hat{e}_3}_{-d \hat{e}_1 \wedge N \hat{e}_3} + \underbrace{\vec{OG} \wedge (-Mg) \hat{e}_3}_{-d \hat{e}_1 \wedge (-Mg) \hat{e}_3} \\ &= dN \hat{e}_2 - dMg \hat{e}_2 \end{aligned}$$

$$\begin{aligned} \vec{M}_O^{\text{ext}} \cdot \hat{e}_2 &= \\ &= d(N - Mg) \end{aligned}$$



Forces: * Poids $M\vec{g} = -Mg \hat{e}_3$ en G

* Liaison $\vec{N} = N \hat{e}_3$ (contact avec sol) en A

* Frottement statique $\vec{F} = F \hat{e}_2$ en A (roulement sans glissement)

* \vec{T} : liaison au point O (3 composantes)

(La balance mesure $\|\vec{N}\|$)

* Th. du moment cinétique (pour ω, Ω constants)

$$\frac{d\vec{L}_O}{dt} = \vec{M}_O^{\text{ext}} \quad \text{or} \quad \frac{d\vec{L}_O}{dt} = I_1 \omega \frac{d\hat{e}_1}{dt} = I_1 \omega \vec{\Omega} \wedge \hat{e}_1 = I_1 \omega \Omega \hat{e}_2$$

Projéte selon \hat{e}_2 : $\frac{d\vec{L}_O}{dt} \cdot \hat{e}_2 = \vec{M}_O^{\text{ext}} \cdot \hat{e}_2 \Leftrightarrow I_1 \omega \Omega = d(N - Mg)$

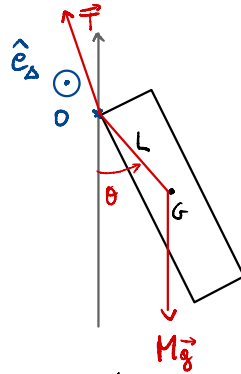
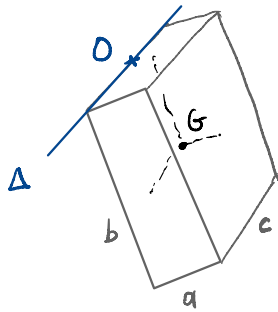
Donc : $N = Mg + \frac{I_1 \omega \Omega}{d}$ or $R\omega = d\Omega$ ($\vec{v}_A = \vec{0}$)

$$= Mg + I_1 \frac{\Omega^2}{R} \Bigg| > Mg \quad \text{Force mesurée par la balance augmente !}$$

Ex : Pour un disque plein homogène $I_1 = \frac{1}{2}MR^2$ d'où $N = Mg + \frac{1}{2}MR\Omega^2$
 $= M \left(g + \frac{R\Omega^2}{2} \right)$

$g_{\text{eff}} > g$

2) Pendule "solide"



→ Th. mom. cin. en O → projeté sur \hat{e}_Δ car mvt autour de Δ

* $\vec{M}_O^{\text{ext}} = \vec{OG} \wedge M\vec{g} = -L \sin\theta M g \hat{e}_\Delta$

* $\vec{L}_O \cdot \hat{e}_\Delta = I_\Delta^{(0)} \omega$ où $\omega = \dot{\theta}$

↳ $\frac{d}{dt} (I_\Delta \omega) = -L \sin\theta M g \Leftrightarrow I_\Delta \ddot{\theta} = -L M g \sin\theta$

↳ $\ddot{\theta} = -\frac{L M g}{I_\Delta} \sin\theta \approx -\frac{L M g}{I_\Delta} \theta$ ($\theta \ll 1$)

Pour des petits angles θ on a un mouvement harmonique de pulsation

$$\omega_{\text{solide}} = \sqrt{\frac{LMg}{I_{\Delta}}}$$

En particulier, pour un parallélépipède rectangle :

$$I_{\Delta}^{(G)} = \frac{1}{12} M(b^2 + a^2) \approx \frac{1}{12} M(2L)^2 = \frac{1}{3} ML^2$$

quand $a \ll b$

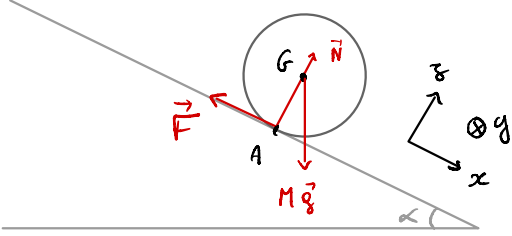
$$\text{Ainsi : } I_{\Delta}^{(O)} = I_{\Delta}^{(G)} + ML^2 = \frac{4}{3} ML^2$$

$$\text{et } \omega_{\text{solide}} = \sqrt{\frac{3}{4} \frac{g}{L}} = \sqrt{\frac{3}{4}} \omega_{\text{p.m.}} \text{ où } \omega_{\text{p.m.}} = \sqrt{\frac{g}{L}} \text{ serait la}$$

pulsation pour un pendule fait d'un point matériel à une distance L .

Cylindre sur plan incliné : condition de non glissement ?

Mvt plan/plan, $\vec{\omega} = \omega \hat{e}_y$



Système → cylindre

Référentiel → plan incliné

Contraintes - contact en A

Forces : pesanteur en G, liaison + frottement en A

Méthode 1 : Th. du mom. cin. en A + Steiner (élimine \vec{F} et \vec{N})

Méthode 2 : Th. du mom. cin. en G :

$$\begin{aligned} * \quad \vec{L}_G &= \vec{I}_G \cdot \vec{\omega} = I_y^{(G)} \vec{\omega} \quad \text{car } \vec{\omega} \parallel \hat{e}_y = \text{axe principal d'inertie} \\ &= \lambda MR^2 \vec{\omega} \\ &\quad (\text{où } \lambda \in [0, 1]) \quad \text{et} \quad \frac{d\vec{L}_G}{dt} = \lambda MR^2 \dot{\omega} \hat{e}_y = \lambda MR \ddot{x}_G \hat{e}_y \end{aligned}$$

$$\begin{aligned} * \quad \vec{M}_G^{\text{ext}} &= \vec{GA} \wedge \vec{F} = -R \hat{e}_z \wedge (-F \hat{e}_x) \quad \text{où } F = \|\vec{F}\| \\ &= FR \hat{e}_y \end{aligned}$$

$$* \quad \text{Th mom. cin. : } \lambda MR \ddot{x}_G = FR \Rightarrow F = \lambda M \ddot{x}_G \Rightarrow \boxed{M \ddot{x}_G = \frac{F}{\lambda}} \quad (1)$$

$$\begin{aligned} 2^{\text{ème}} \text{ loi de Newton} \\ \text{projetée sur } \hat{e}_x \quad \boxed{M \ddot{x}_G = -F + Mg \sin \alpha} \quad (2) \end{aligned}$$

$$(1) - (2) : \quad 0 = F \left(\frac{1}{\lambda} + 1 \right) - Mg \sin \alpha$$

$$\Rightarrow \boxed{F = \frac{\lambda}{1+\lambda} Mg \sin \alpha} \quad \text{et} \quad \boxed{\ddot{x}_G = \frac{g \sin \alpha}{1+\lambda}}$$

$$2^{\text{ème}} \text{ loi selon } \hat{e}_z : \quad \boxed{N = Mg \cos \alpha}$$

Frottement statique si $F \leq \mu_s N$

Condition sur μ_s v.s. $\tan \alpha$: $\mu_s \geq \frac{F}{N} \rightarrow \mu_s \geq \frac{\lambda}{1+\lambda} \tan \alpha$

• Cylindre creux : ($\lambda=1$) $\rightarrow \mu_s \geq \frac{1}{2} \tan \alpha$

• Cylindre plein ($\lambda=\frac{1}{2}$) $\rightarrow \mu_s \geq \frac{1/2}{3/2} \tan \alpha = \frac{1}{3} \tan \alpha$

⊙ Limite : roue où toute la masse est concentrée au centre $\rightarrow \lambda \rightarrow 0$
 $\mu_s \geq 0$
 \hookrightarrow jamais de glissement

Rappel : pour un objet qui ne roule pas (par ex. cylindre posé sur le côté) la condition de non glissement est $\mu_s \geq \tan \alpha$

Donc dans tous les cas il faut une pente plus grande pour observer le glissement du même objet lorsqu'il peut rouler.